

# 格子QCDによる 有限温度・密度解析

有限密度の計算方法を中心に

江尻 信司  
新潟大学

2010年7月7日、筑波大学計算科学研究センター

# 今日の話

- インTRODダクション（最近の話題のレビュー）
- 高密度でのシミュレーションのに向けた試み  
（Density of state method + Reweighting method）
- カノニカル法（クォーク数を固定した計算法）

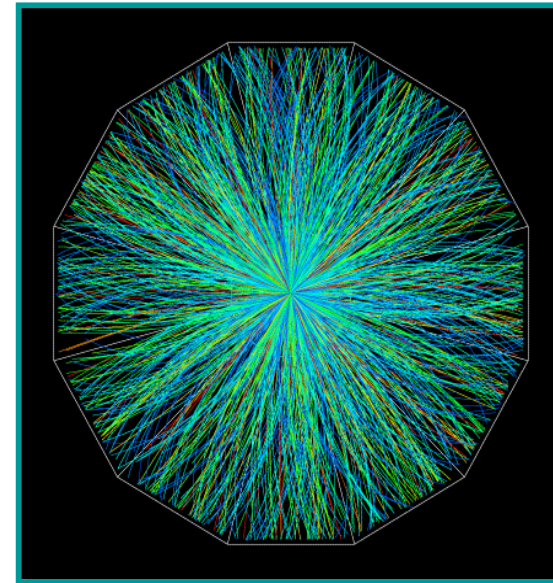
# 超高温高密度での量子色力学(QCD)

## QCDが本質的な役割を果たす世界

- 温度1兆度の世界
  - 宇宙の進化の過程: 宇宙誕生 0.0001秒後
  - カイラル相転移: 物質が質量を獲得したとき
  - 閉じ込め相転移: クォーク・グルーオン プラズマ状態
- 原子核の標準密度より高い密度の世界
  - 中性子星の内部(星の進化の最終段階)
  - 太陽の100兆倍以上の密度
- QCDの解析が困難。宇宙論構築の際の不確定要素。  
高温高密度での格子QCDの数値シミュレーションが重要

# 1兆度の世界を地上で実現する 重イオン衝突実験 RHIC

- 金の原子核を衝突させて、瞬間的に超高温状態を作る。
- アメリカ・ブルックヘブン国立研究所(BNL)、RHIC ('01より)



- より高温の状態を目指してスイス・CERNのLHC、
- より高密度の状態を目指してドイツ・GSIのFairが予定されている。

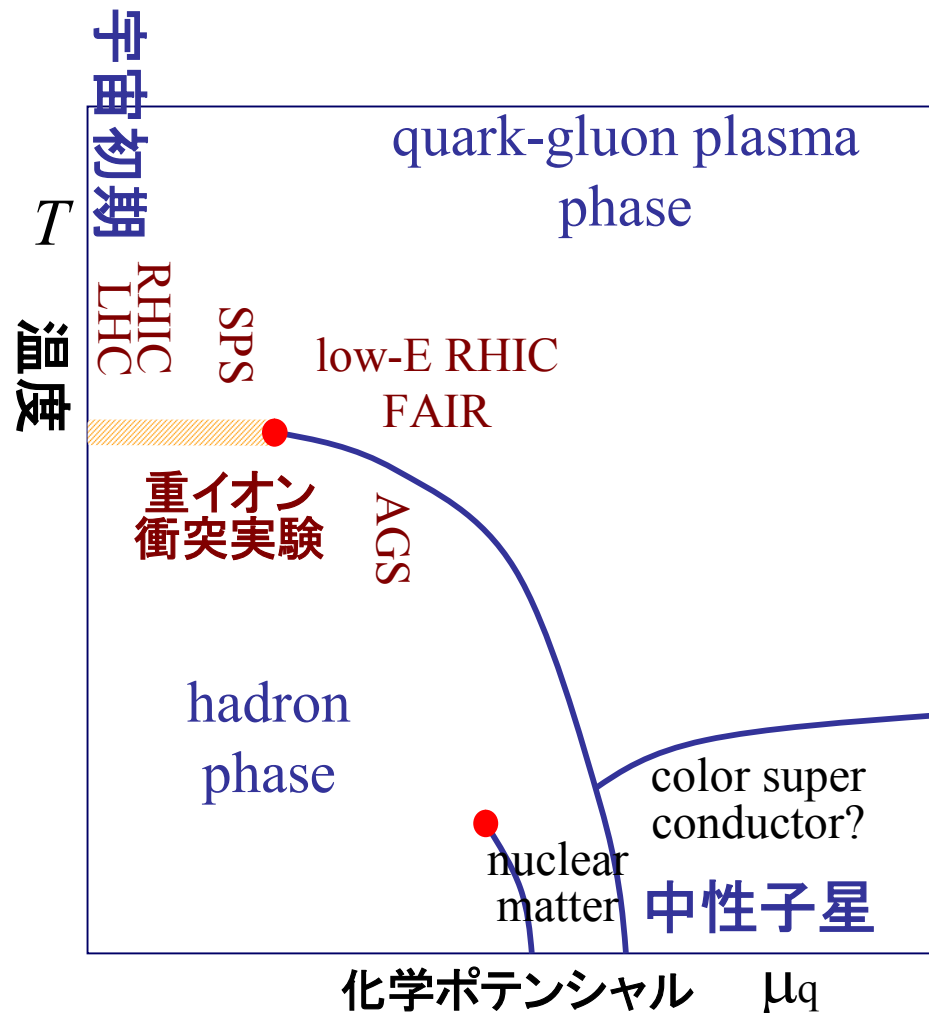
# 超高密度物質の世界：中性子星、クォーク星

- 観測技術の進歩により中性子星の質量と半径が測定できるようになった。
- 星の硬さ(状態方程式、圧力と密度の関係)がわかれば、星の内部構造が解明できる。
- 中性子星の内部、超高密度でのQCD物質の状態を、天体観測と理論の両側面から検証できる可能性。

格子QCDの数値シミュレーション  
理論の第一原理計算が非常に重要



# 数値シミュレーションによる 高温高密度QCDの相構造の研究



- 格子QCDの数値シミュレーションで高温高密度の状態を調べる



- 重イオン衝突実験を支援
- 天体観測と比較



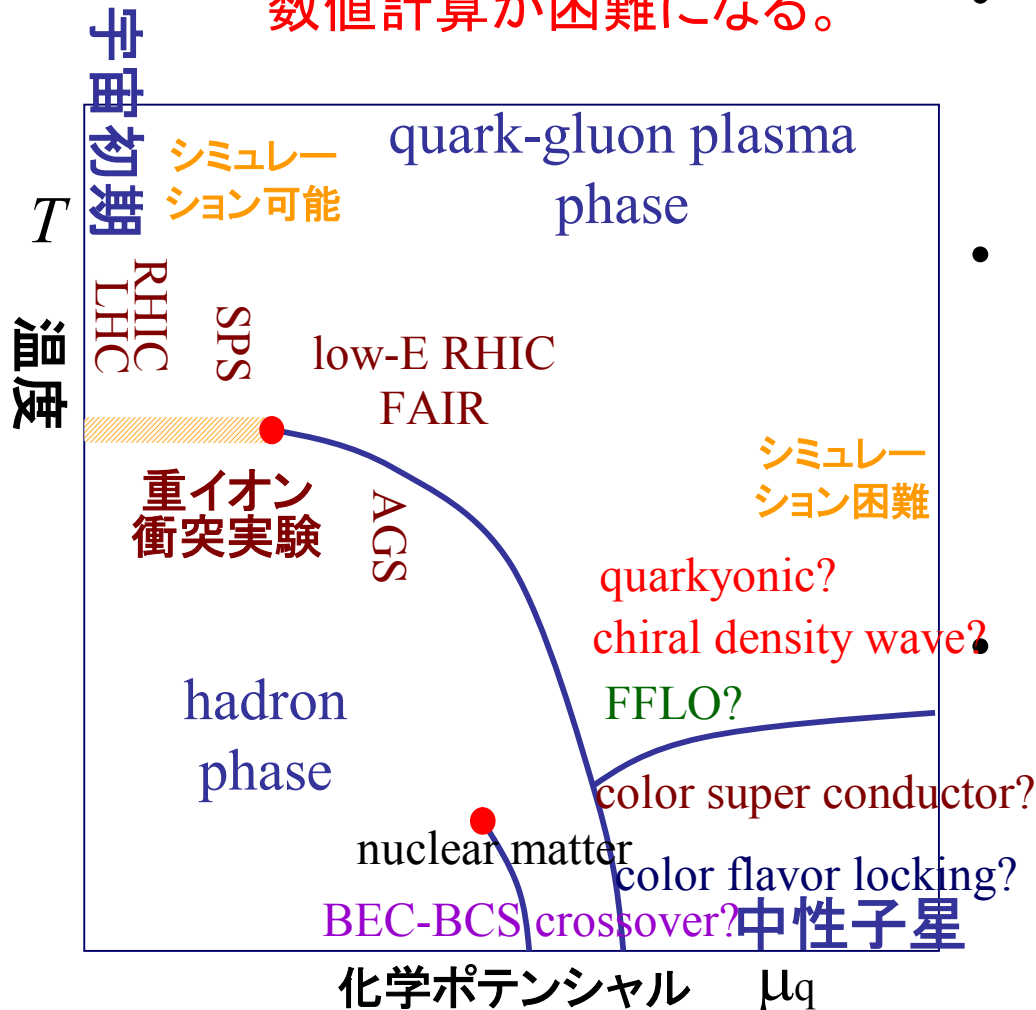
- 物質の極限状態を解明



- 宇宙論の構築

# 高温高密度QCDの相構造 勢力分布

$\mu/T$  が大きくなるにつれて  
数値計算が困難になる。



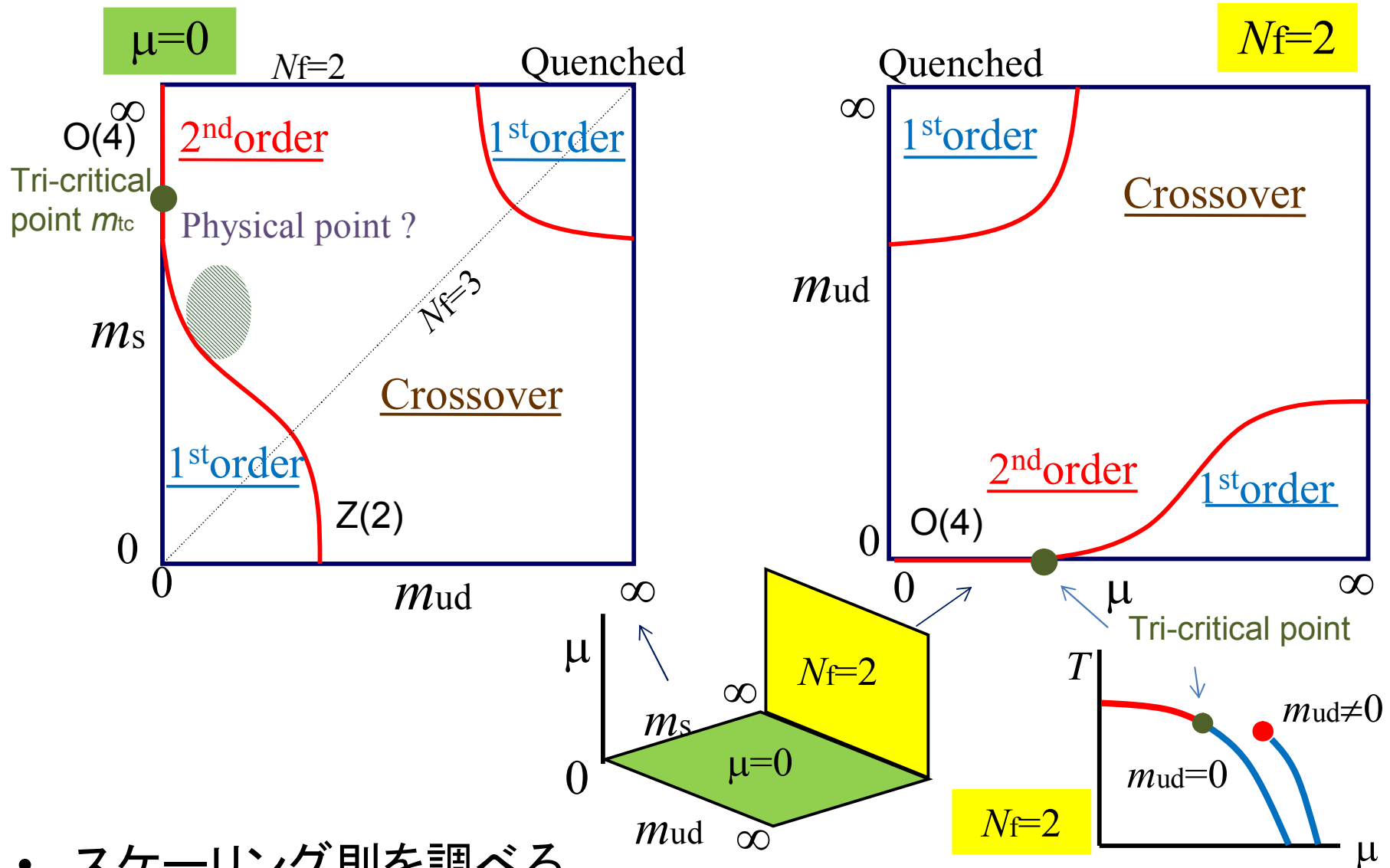
- 平和な高温低密度
  - 格子QCDの数値シミュレーションが重イオン衝突実験をサポート。
- 低温高密度は戦国時代
  - 現象論的な研究から、いろいろな状態が予想されている。
  - しかし、決定的な計算方法がない。
  - 数値シミュレーションも困難。

戦乱を鎮めるのは

- 格子QCD?
- 天体観測?
- 新たな画期的な実験?



# 相転移のクォーク質量依存性



- スケーリング則を調べる。
- 相転移線をユニバーサリティークラスで分類

# 有限温度・密度QCDの最近の研究成果

- 高温低密度領域
  - 宇宙初期でのクォーク・グルーオン・プラズマからハドロンに変化する相転移
  - 重イオン衝突実験 RHIC
    - 興味深い実験データが得られている。
    - 実験データが複雑。理論からのインプットが必要。
- 格子QCDによる数値シミュレーション

QCDの第一原理計算のための最も強力な手法。  
密度が高くなるにつれて計算が困難になる。
- 相転移温度、状態方程式、輸送係数、有限密度での臨界点
  - QCDの特徴を実験と理論で比較・検証できる可能性。

# 状態方程式(熱力学量の温度・密度依存性)

- 有限バリオン数密度ではボルツマンの重みが複素数。
  - 直接モンテカルロシミュレーションできない。
- Taylor展開法 [Bielefeld-Swansea, Phys.Rev.D68(2003)014507; D71(2005)054508]
  - 物理量をTaylor展開。その係数を $\mu_q=0$ で計算: 複素位相の問題と無関係。
  - 重イオン衝突実験で興味があるのは低密度領域。  
( RHICでは、 $\mu_q/T \sim 0.1$ , SPSでは、 $\mu_q/T \sim 0.6$ )

$$\frac{p}{T^4} = \frac{1}{VT^3} \ln Z = c_0 + c_2 \left( \frac{\mu_q}{T} \right)^2 + c_4 \left( \frac{\mu_q}{T} \right)^4 + c_6 \left( \frac{\mu_q}{T} \right)^6 + \dots$$

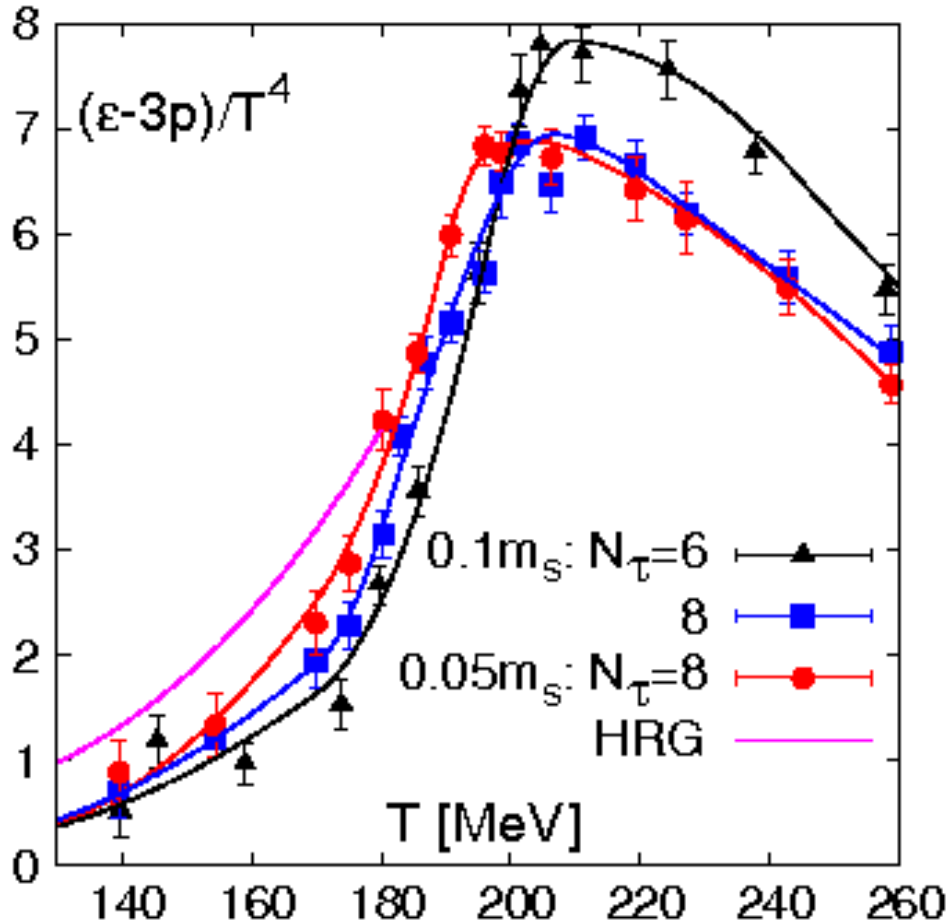
- $\ln Z$ の微分の計算: 大規模数値シミュレーションと相性がいい。
- 現在、ほぼ現実のクォーク質量でシミュレーションが行われている。  
RBC-Bielefeld Collab., MILC Collab., hotQCD Collab.  
Wuppertal-Budapest Collab.

➡ スタaggerド・クォークによる研究: ゴールまで間近

➡ ウィルソン・クォークによる確認も重要 WHOT-QCD, QCDSF-DIK

# 相転移温度付近での状態方程式

hotQCD Collab., PRD81, 054504(2010)



ゼロ密度

低温相で  
ハドロン・ガスの予言と比較

$N_\tau = 8: a \approx 0.14 \text{ fm}$

$0.1 \text{ ms}: m_\pi \approx 220 \text{ MeV}$

$0.05 \text{ ms}: m_\pi \approx 150 \text{ MeV}$

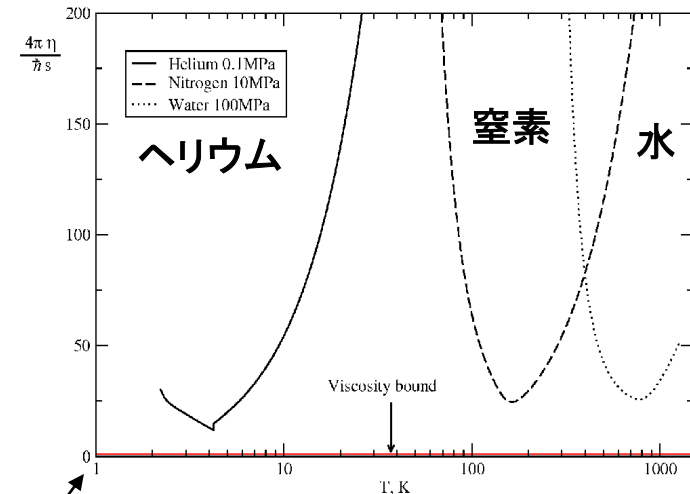
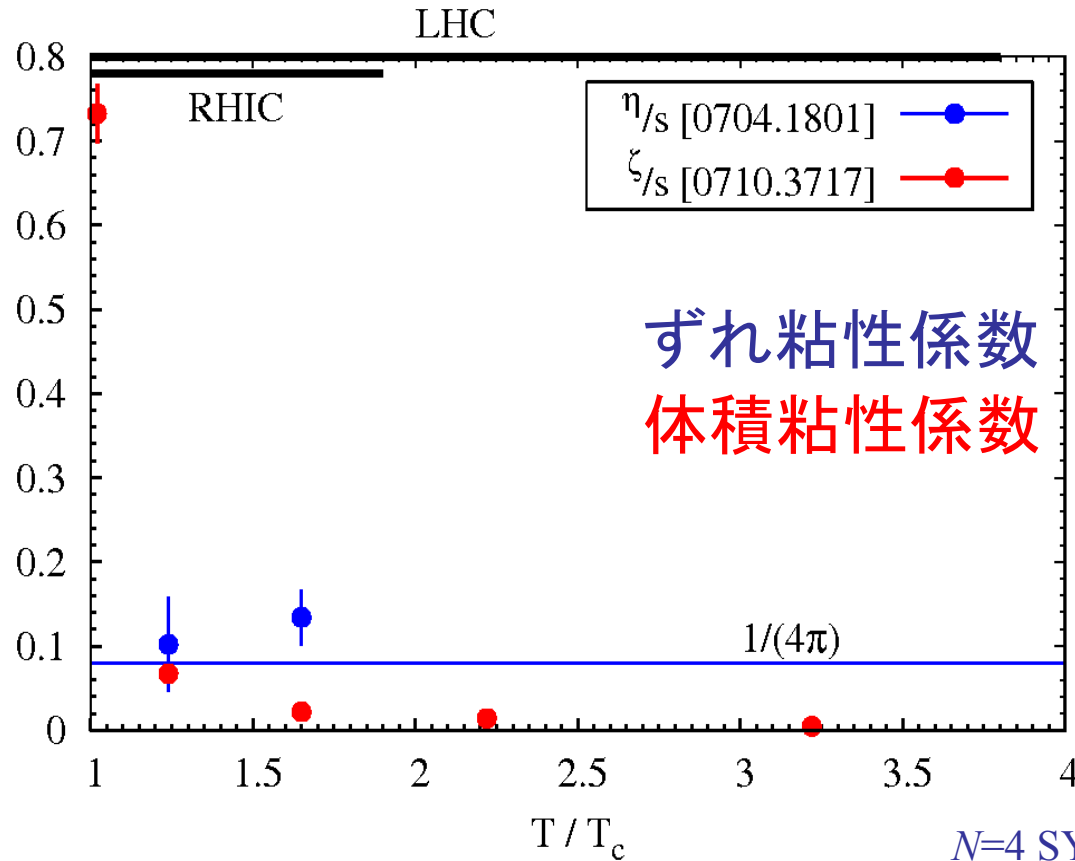
- マゼンタの線: 質量 $2.5 \text{ GeV}$ 以下のハドロン励起ガス模型の予言
- シミュレーションの結果( $m_\pi \approx 150 \text{ MeV}$ )とよく一致

# 粘性 (viscosity)

- QGPの粘性が小さいことはQCDから説明できるか。
  - 粘性を無視した流体計算が実験結果をよく説明できるが
- 格子QCDのシミュレーション
  - クエンチ・シミュレーション(動的クォークを無視)
    - Karsch, Wyld, PRD35, 2518 (1987): 最初の試み
    - Nakamura, Sakai, PRL94, 072305 (2005): 粘性が小さいことを証明
    - Meyer, PRD76, 101701(R)(2007); PRL100, 162001 (2008): 最近の結果

# SU(3)ゲージ理論(クエンチ近似)での粘性係数の結果

H. Meyer, PRD76, 101701(R)(2007); PRL 100, 162001 (2008)



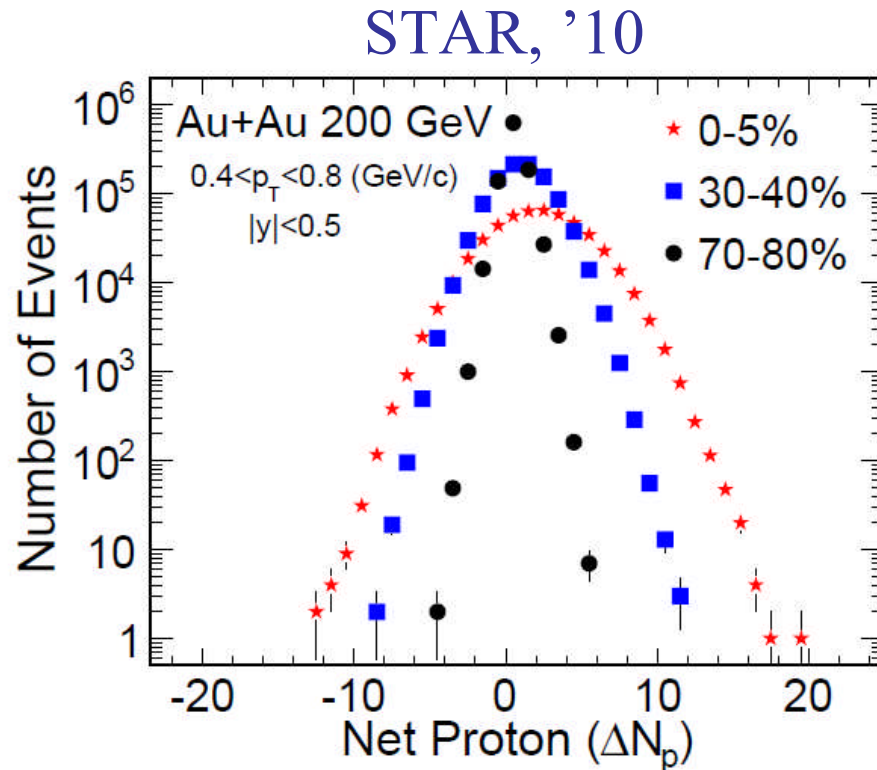
Kovtun, Son, Starinets, PRL 94, 111601 (2005) より

$N=4$  SYM theory: Policastro, Son, Starinets '01

- 粘性は非常に小さい。
- 今後は Full QCD での計算が重要。



# イベントごとの生成粒子数の分布



- イベントごとの生成粒子数のヒストグラムが実験から得られている。
- 臨界点に近づくと分布の幅が広がる。
- 最近では、分布のガウス分布からのずれが注目されている。
- Lattice計算やモデル計算から、バリオン数に関する高次のキュムラントが  $T, \mu$  の関数として特徴的な値をとる。
  - 2次のキュムラント: 分布の幅
  - それ以上: ガウス分布からのずれ

クォーク数に関する確率分布はカノニカル分布関数と直接関係がある。

# その他の重要な課題

- チャーモニウムの融解温度
- 電気伝導度 (electric conductivity)
- 強い磁場中でのQCDの相転移

# Toward the numerical study of lattice QCD at high density

- Avoiding the sign problem in finite-density QCD
- Density of state method + Reweighting method

# Problems in simulations at $\mu \neq 0$

- Problem of Complex Determinant at  $\mu \neq 0$

- Boltzmann weight: complex at  $\mu \neq 0$ 
  - Monte-Carlo method is not applicable.
  - Configurations cannot be generated.

- Density of state method (Histogram method)

$X$ : order parameters, total quark number, average plaquette etc.

$$Z(m, T, \mu) = \int dX \underline{W(X, m, T, \mu)} \text{ histogram}$$

$$W(\bar{X}, m, T, \mu) \equiv \int DU \delta(X - \bar{X}) (\det M(m, \mu))^{N_f} e^{-S_g}$$

- Expectation values

$$\langle O[X] \rangle_{(m, T, \mu)} = \frac{1}{Z} \int dX O[X] W(X, m, T, \mu)$$

- The density of state method is useful if we combine the reweighting method.

# Order of phase transitions

## Distribution function (histogram)

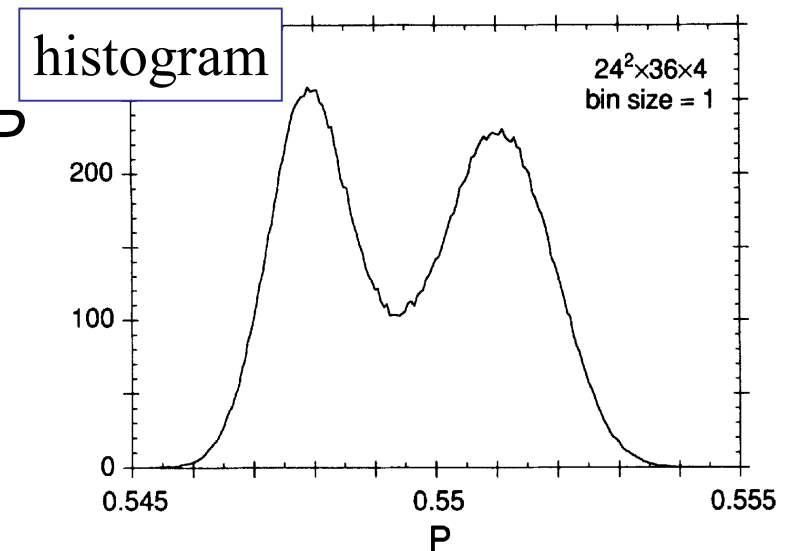
- First order phase transition  
Two phases coexists at  $T_c$   
e.g. SU(3) Pure gauge theory

SU(3) Pure gauge theory  
QCDPAX, PRD46, 4657 (1992)

- Average plaquette (1x1 Wilson loop):  $P$

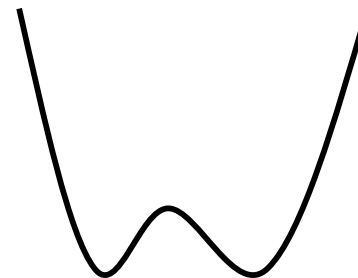
- Partition function

$$Z(T) = \int dP \underbrace{W(P, T)}_{\text{histogram}}$$



- Effective potential

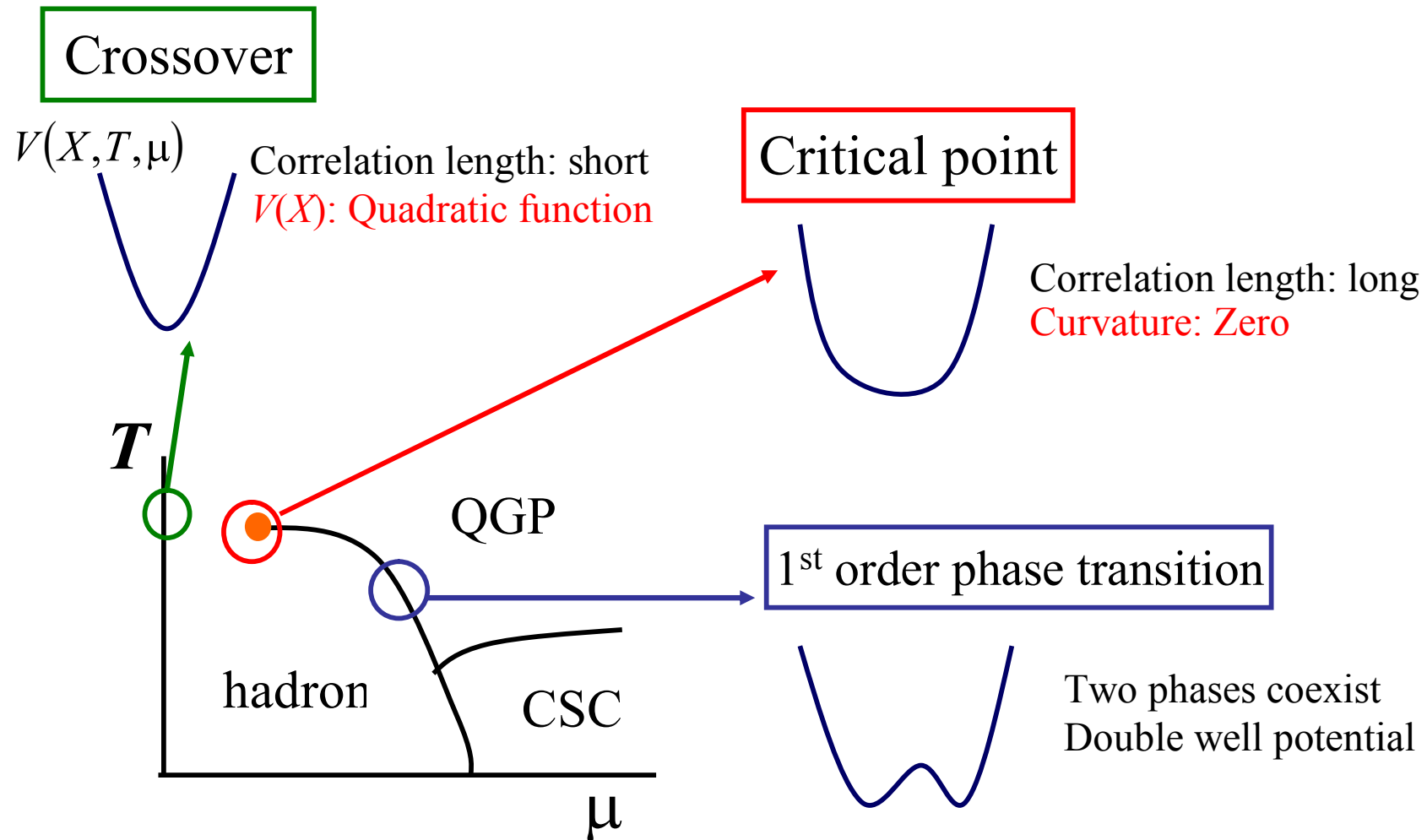
$$V_{\text{eff}}(P) \equiv -\ln(W(P))$$



# $\mu$ -dependence of the effective potential

$$Z(T, \mu) = \int dX W(X, T, \mu), \quad V_{\text{eff}}(X) = -\ln W(X)$$

$X$ : order parameters, total quark number, average plaquette etc.

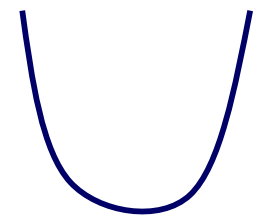


# mass-dependence of the effective potential

$$Z(T, \mu) = \int dX W(X, T, \mu), \quad V_{\text{eff}}(X) = -\ln W(X)$$

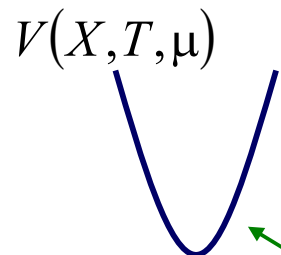
$X$ : order parameters, total quark number, average plaquette  
etc.

**Critical point**



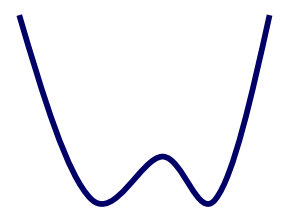
Correlation length: long  
Curvature: Zero

**Crossover**

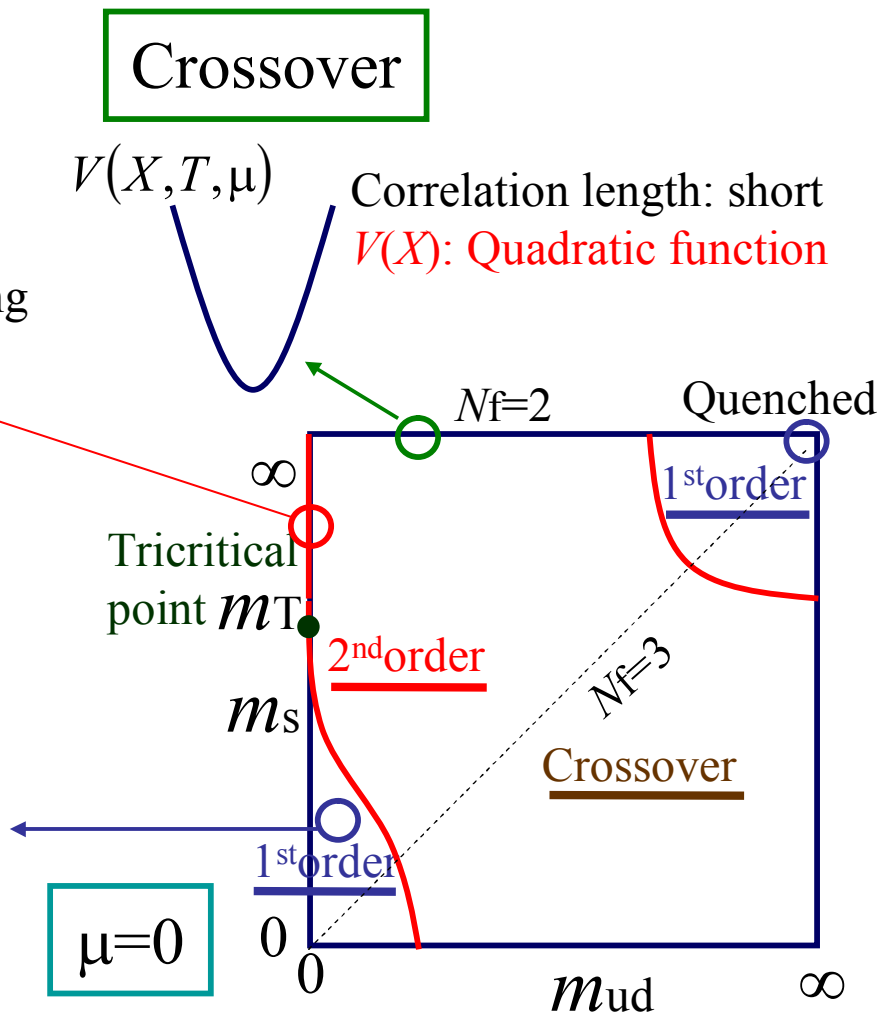


Correlation length: short  
 $V(X)$ : Quadratic function

**1<sup>st</sup> order phase transition**



Two phases coexist  
Double well potential



# Reweighting method at $\mu \neq 0$ (S.E., Phys.Rev.D77, 014508(2008))

- Distributions of plaquette  $P$  (1x1 Wilson loop for the standard action)

$$Z(\beta, m, \mu) = \int dP \underline{R(P, m, m_0, \mu)} \underline{W(P, m_0, \beta)} \quad S_g = -6N_{site} \beta P \quad (\beta = 6/g^2)$$

$$W(\bar{P}, \beta) \equiv \int DU \delta(P - \bar{P}) (\det M(m_0, 0))^{N_f} e^{-S_g} \quad \text{(Weight factor at } \mu=0\text{)}$$

$$R(\bar{P}) \equiv \frac{\int DU \delta(P - \bar{P}) (\det M(m, \mu))^{N_f}}{\int DU \delta(P - \bar{P}) (\det M(m_0, 0))^{N_f}} = \frac{\left\langle \delta(P - \bar{P}) \left( \frac{\det M(m, \mu)}{\det M(m_0, 0)} \right)^{N_f} \right\rangle_{(\beta, \mu=0)}}{\langle \delta(P - \bar{P}) \rangle_{(\beta, \mu=0)}} \equiv \left\langle \left( \frac{\det M(m, \mu)}{\det M(m_0, 0)} \right)^{N_f} \right\rangle_P \quad \text{(Reweight factor)}$$

$R(P, m, \mu)$ : independent of  $\beta$ ,  $\rightarrow R(P, m, \mu)$  can be measured at any  $\beta$ .

Effective potential:

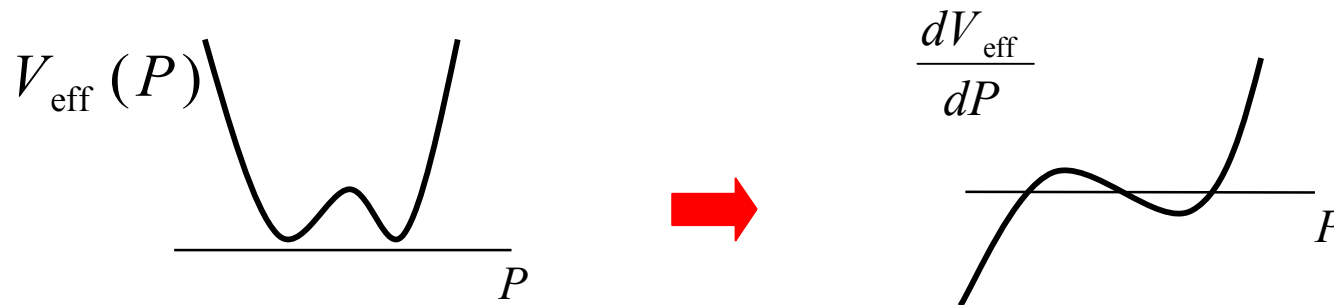
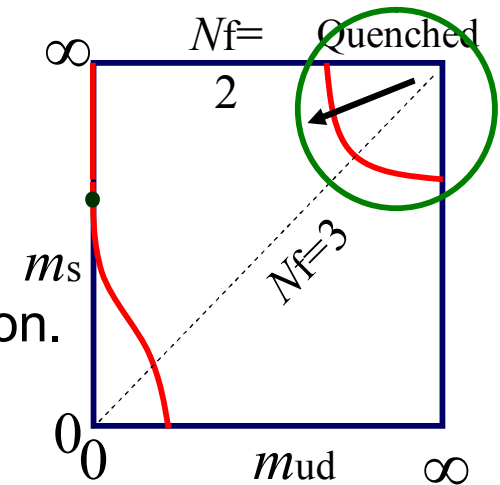
crossover 1<sup>st</sup> order phase transition?  
non-singular

$$V_{\text{eff}}(P) = -\ln[R(P, \mu)W(P, \beta)] = \underbrace{-\ln[W(P, \beta)]}_{\text{non-singular}} + \underbrace{-\ln[R(P, \mu)]}_{\text{crossover}} = \underbrace{-\ln[R(P, \mu)W(P, \beta)]}_{\text{1<sup>st</sup> order phase transition?}}$$

# Reweighting from quenched simulations

WHOT-QCD Collab.

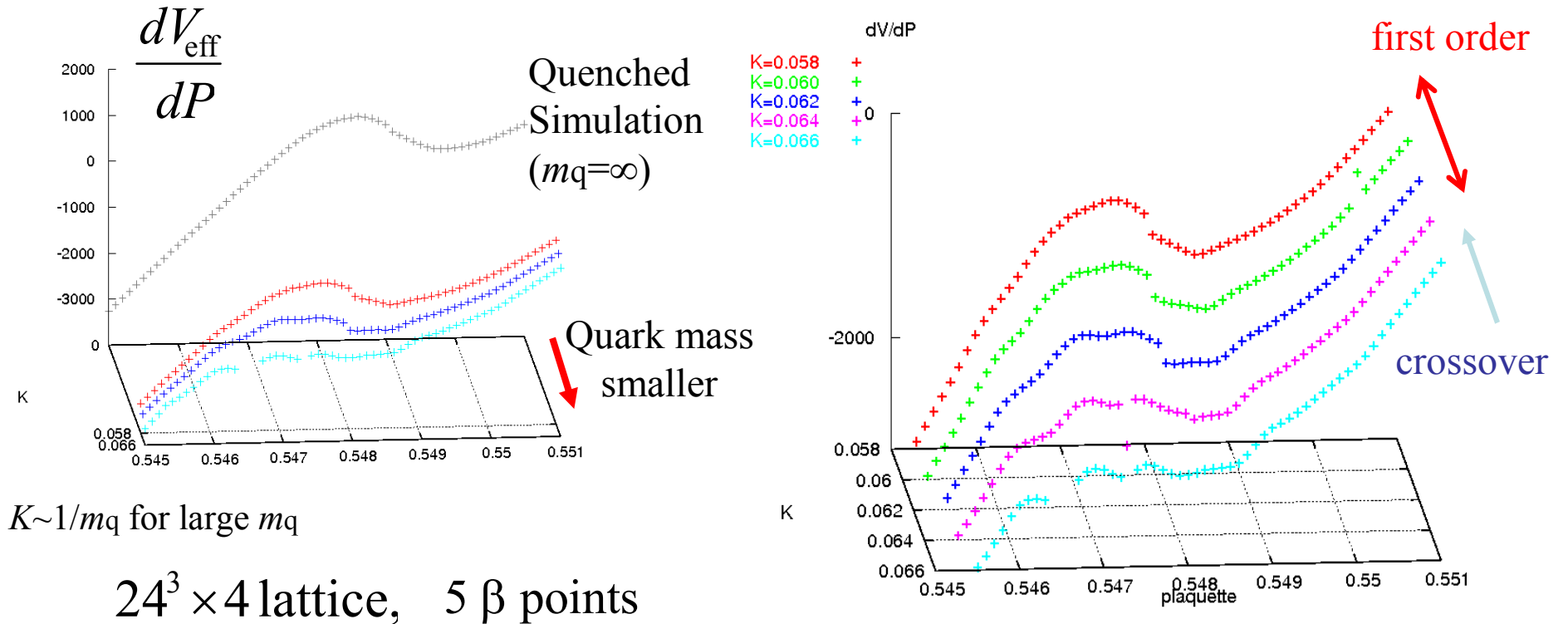
- Order of phase transition near the quenched limit
  - First order ( $m_q \rightarrow \infty$ )  $\rightarrow$  crossover (small  $m_q$ )
- Quenched simulations + Reweighting method
  - $\det M$  is estimated by a hopping parameter expansion.
- Effective potential in a wide range of  $P$ : required.
  - Derivative of the effective potential



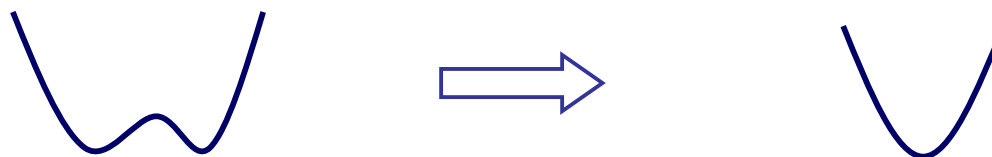
- One can combine the data of  $dV_{\text{eff}}/dP$  obtained at different  $\beta$  using

$$V_{\text{eff}}(\beta_1) - 6N_{\text{site}}(\beta_2 - \beta_1)P = V_{\text{eff}}(\beta_2) \quad \rightarrow \quad \frac{dV_{\text{eff}}}{dP}(\beta_1) - 6N_{\text{site}}(\beta_2 - \beta_1) = \frac{dV_{\text{eff}}}{dP}(\beta_2)$$

# Effective potential near the quenched limit



- Quenched simulations are performed and  $m_q$  is changed by the reweighting.
- First order transition at  $m_q = \infty$  changes to crossover at  $m_q < \infty$ .



# Application to finite density QCD

- Solving the sign problem

# Avoiding the sign problem

SE, Phys.Rev.D77,014508(2008),  
WHOT-QCD, arXiv0909.2121

$\theta$ : complex phase

$$F = \left| \frac{\det M(\mu)}{\det M(0)} \right|^{N_f}$$

- Sign problem: If  $e^{i\theta}$  changes its sign,

$$R(P, \mu) = \left\langle \left( \frac{\det M(\mu)}{\det M(0)} \right)^{N_f} \right\rangle_{P \text{ fixed}} \equiv \langle e^{i\theta} F \rangle_P \ll (\text{statistical error})$$

- Cumulant expansion

$\langle \dots \rangle_{F,P}$ : expectation values fixed  $F$  and  $P$ .

$$\begin{aligned} \langle e^{i\theta} F \rangle_P &= \int F \langle e^{i\theta} \rangle_{F,P} dF \\ &\approx \int F \exp \left[ \underbrace{i \langle \theta \rangle_C}_{\rightarrow 0} - \frac{1}{2} \langle \theta^2 \rangle_C - \underbrace{\frac{i}{3!} \langle \theta^3 \rangle_C}_{\rightarrow 0} + \frac{1}{4!} \langle \theta^4 \rangle_C + \dots \right] dF \end{aligned}$$

cumulants

$$\langle \theta \rangle_C = \langle \theta \rangle_{F,P}, \quad \langle \theta^2 \rangle_C = \langle \theta^2 \rangle_{F,P} - \langle \theta \rangle_{F,P}^2, \quad \langle \theta^3 \rangle_C = \langle \theta^3 \rangle_{F,P} - 3 \langle \theta^2 \rangle_{F,P} \langle \theta \rangle_{F,P} + 2 \langle \theta \rangle_{F,P}^3, \quad \langle \theta^4 \rangle_C = \dots$$

- Odd terms vanish from a symmetry under  $\mu \leftrightarrow -\mu$  ( $\theta \leftrightarrow -\theta$ )  
Source of the complex phase

If the cumulant expansion converges, No sign problem.

# Convergence of the cumulant expansion

- Because  $\theta \sim O(\mu)$ ,  $\langle \theta^n \rangle_C \sim O(\mu^n)$ 
  - The cumulant expansion is a power expansion of  $\mu$ .
    - **Applicable at low density.**
  - If one takes into account  $\langle \theta^n \rangle_C$ , the truncation error does not affect up to  $O(\mu^n)$ .
- Gaussian distribution function
  - The cumulants vanish except for  $\langle \theta^2 \rangle_C$ .

$$\langle F e^{i\theta} \rangle = \int dF \int d\theta F e^{i\theta} W(F, \theta) \approx \int dF F e^{-1/(4\alpha)} W'(F)$$

$$W(F, \theta) \approx \sqrt{\frac{\alpha(F)}{\pi}} e^{-\alpha(F)\theta^2} W'(F)$$

$$\frac{1}{2\alpha(F')} = \frac{\int \theta^2 W(F', \theta) d\theta}{\int W(F', \theta) d\theta} \equiv \langle \theta^2 \rangle_{F'}$$



$$\langle F e^{i\theta} \rangle \approx \left\langle F e^{-\langle \theta^2 \rangle_F / 2} \right\rangle$$

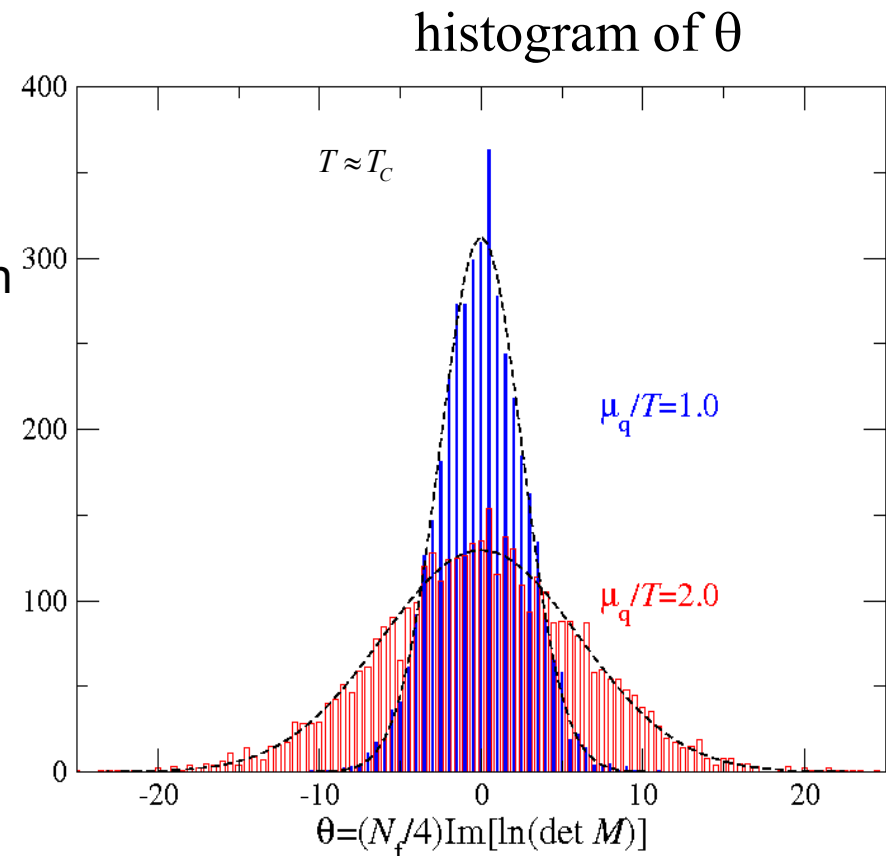
# Gaussian distribution of the complex phase

- Complex phase of  $\det M$   $\theta = N_f \text{Im}[\ln \det M(\mu)]$ 
  - Taylor expansion: odd terms of  $\ln \det M$  (Bielefeld-Swansea, PRD66, 014507 (2002))

$$\theta = N_f \text{Im} \left[ \frac{\mu}{T} \frac{d \ln \det M}{d(\mu/T)} + \frac{1}{3!} \left( \frac{\mu}{T} \right)^3 \frac{d^3 \ln \det M}{d^3(\mu/T)} + \frac{1}{5!} \left( \frac{\mu}{T} \right)^5 \frac{d^5 \ln \det M}{d^5(\mu/T)} + \dots \right]$$

- Gaussian distribution
  - Results for p4-improved staggered
  - Taylor expansion up to  $O(\mu^5)$
  - Dashed line: fit by a Gaussian function
  - SE, Phys.Rev.D77,014508(2008)

Well approximated 



# Convergence in the large volume( $V$ ) limit

- Worst case: Because  $\theta \sim O(V)$ , Naïve expectation:  $\langle \theta^n \rangle_C \sim O(V^n)$ ?
  - If so, the cumulant expansion does not converge.

However, this problem is solved in the following situation.

- The phase is given by  $\theta = \sum_x \theta_x$ 
  - No correlation between  $\theta_x$ .
  - This situation is realized if we define the phase as

$$\theta = N_f \text{Im} \left[ \frac{\mu}{T} \frac{d \ln \det M}{d(\mu/T)} + \frac{1}{3!} \left( \frac{\mu}{T} \right)^3 \frac{d^3 \ln \det M}{d^3(\mu/T)} + \frac{1}{5!} \left( \frac{\mu}{T} \right)^5 \frac{d^5 \ln \det M}{d^5(\mu/T)} + \dots \right]$$

$$\text{or} \quad \theta = N_f \int_0^{\mu/T} \text{Im} \left[ \frac{d \ln \det M}{d(\mu/T)} \right]_{\mu'/T} d \left( \frac{\mu'}{T} \right)$$

$\theta_1$	$\theta_2$	$\theta_3$
$\theta_4$	$\theta_5$	$\theta_6$
$\theta_7$	$\theta_8$	$\theta_9$

correlation length

- The first derivative is the sum of the local density operator.

The spatial density correlation length is short at a non-singular point.

$$\text{Im} \left[ \frac{d \ln \det M}{d(\mu/T)} \right] = \text{Im} \left[ \text{Tr} \left( M^{-1} \frac{\partial M}{\partial(\mu/T)} \right) \right]$$

Diagonal element:  
local density operator

# Convergence in the large volume ( $V$ ) limit

This problem is solved in the following situation.

- The phase is given by  $\theta = \sum_x \theta_x$ 
  - No correlation between  $\theta_x$ .

$$\langle e^{i\theta} \rangle_{F,P} = \left\langle e^{i \sum_x \theta_x} \right\rangle_{F,P} \approx \prod_x \langle e^{i\theta_x} \rangle_{F,P} = \exp \left[ \sum_x \sum_n \frac{i^n}{n!} \langle \theta_x^n \rangle_C \right]$$

$$\langle e^{i\theta} \rangle_{F,P} = \exp \left[ \sum_n \frac{i^n}{n!} \langle \theta^n \rangle_C \right] \quad \rightarrow \quad \langle \theta^n \rangle_C \approx \sum_x \langle \theta_x^n \rangle_C \sim O(V)$$

- Ratios of cumulants do not change in the large  $V$  limit.
- Convergence property is independent of  $V$   
although the phase fluctuation becomes larger as  $V$  increases
- The application range of  $\mu$  can be measured on a small lattice.

# Gaussian approximation (S.E., Phys.Rev.D77, 014508(2008))

If Gaussian distribution,

➔ Higher order cumulants vanish.

- If the second term is dominated, the calculation: much easier.

$$\left\langle e^F e^{i\theta} \right\rangle_P \approx \left\langle e^F e^{-\langle \theta^2 \rangle_{F,P}/2} \right\rangle_P$$

No sign problem

- Configurations with large fluctuations of  $\theta$ : not important.

– Such a configuration is suppressed as

$$W(P) \sim \exp\left[-\frac{1}{2}\langle \theta^2 \rangle_{F,P}\right]$$

– If configurations with small  $\theta$  are important, the cumulant expansion must be good.

# Canonical approach

- Effective potential of total quark number
- Probability distribution function of quark number
  - Related to event by event analyses in heavy-ion collisions.

# Canonical approach

- Canonical partition function:  $Z_C$  (Fugacity expansion)

$$Z_{GC}(T, \mu) = \sum_N \underline{Z_C(T, N)} \exp(N\mu/T) \equiv \sum_N W(N)$$

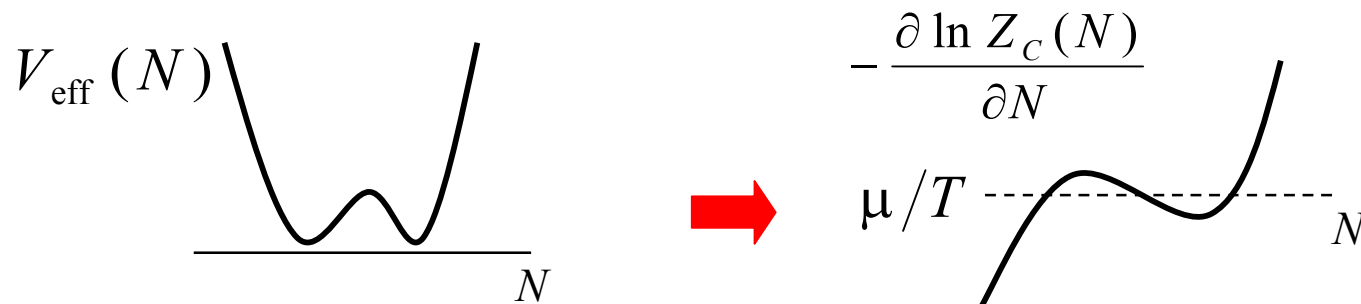
- Effective potential as a function of the quark number  $N$ .

$$V_{\text{eff}}(N) = -\ln W(N) = -\ln Z_C(T, N) - N\mu/T$$

- At the minimum,

$$\frac{\partial V_{\text{eff}}(N)}{\partial N} = -\frac{\partial \ln W(N)}{\partial N} = -\frac{\partial \ln Z_C(T, N)}{\partial N} - \frac{\mu}{T} = 0$$

- First order phase transition: Two phases coexist.

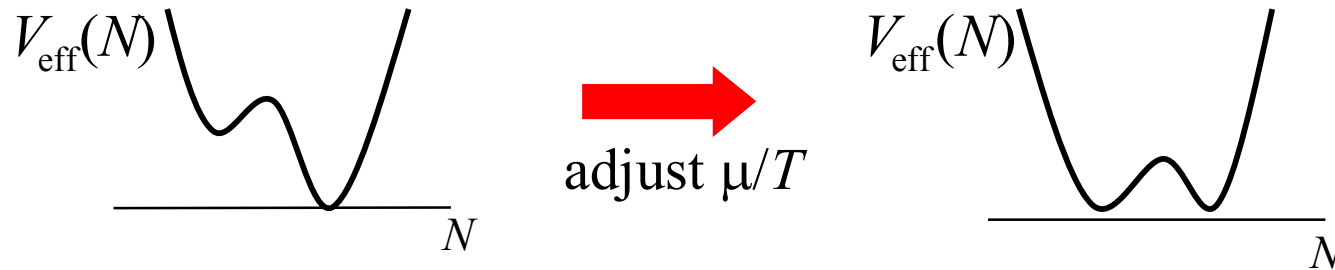


# First order phase transition

- Critical  $\mu/T$

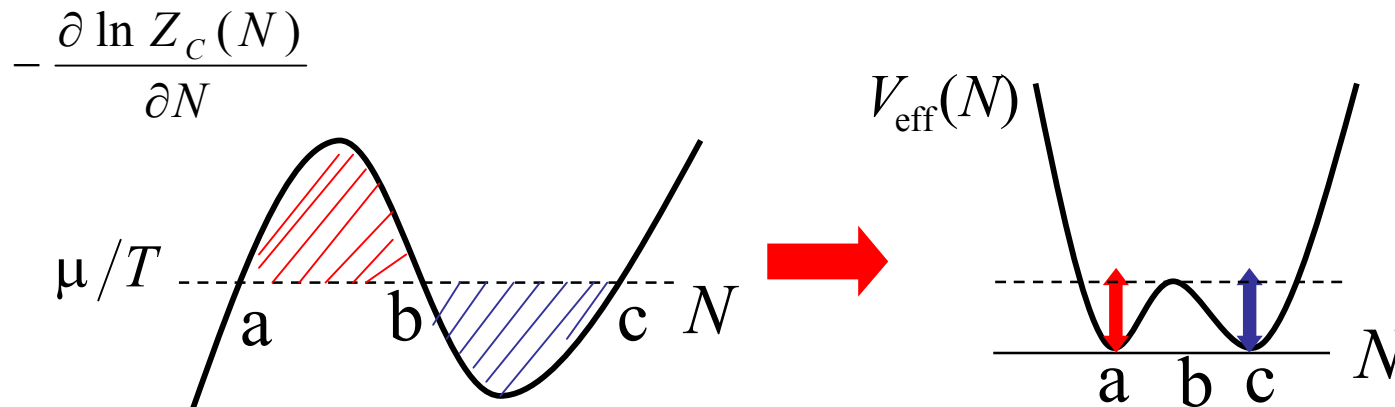
$$V_{\text{eff}}(N) = -\ln Z_C(T, N) - \frac{N\mu}{T}$$

liner function



- Derivative of  $\ln Z$

$$\frac{\partial V_{\text{eff}}(N)}{\partial N} = -\frac{\partial \ln Z_C(T, N)}{\partial N} - \frac{\mu}{T}$$



- Area of and are the same at the critical  $\mu/T$ .

# Chemical potential in finite density lattice QCD

- Grand partition function

$$Z = \int \prod_{x,\mu} dU_\mu(x) (\det M)^{N_f} e^{-S_g}$$

- Lattice formulation: to obtain correct continuum limit  
(Hasenfratz, Karsch, Phys. Lett., 125B, 308 (1983))

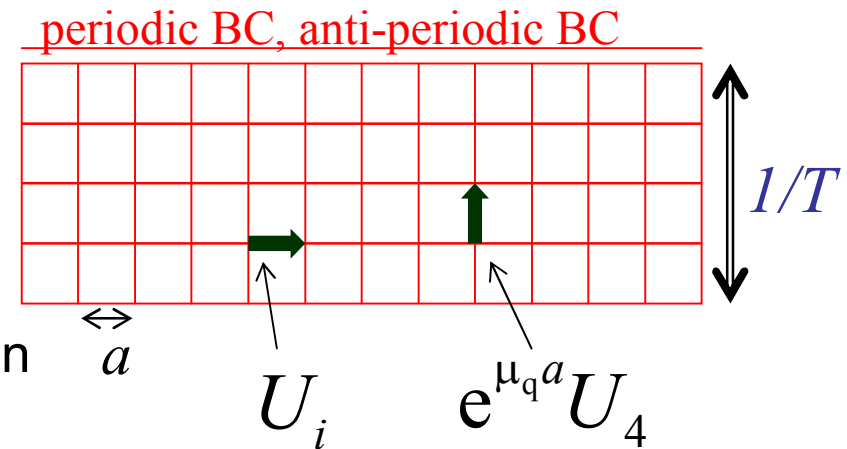
$$U_\mu \approx e^{igaA_\mu} \in SU(N_C)$$

(Gauge connection)

- Modify the link field for time direction in the quark action.

$$U_4(x) \Rightarrow e^{\mu_q a} U_4(x)$$

$$U_4^+(x) \Rightarrow e^{-\mu_q a} U_4^+(x)$$



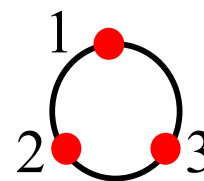
$$N_t a = 1/T$$

Simulation  
parameter:  $\mu_q/T$

# Fermion determinant

(see e.g., Montvay's book 4.1.4)

For example, 
$$M = \begin{pmatrix} m & -K_{12} & -K_{13} \\ -K_{21} & m & -K_{23} \\ -K_{31} & -K_{32} & m \end{pmatrix}$$

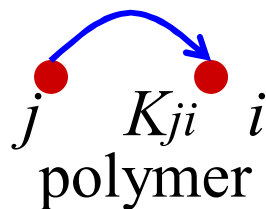
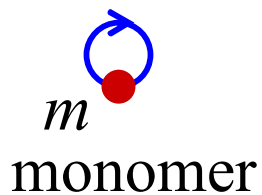


$$\det M = mmm - mK_{12}K_{21} - mK_{23}K_{32} - mK_{13}K_{31} - K_{12}K_{23}K_{31} - K_{32}K_{21}K_{13}$$



In general,

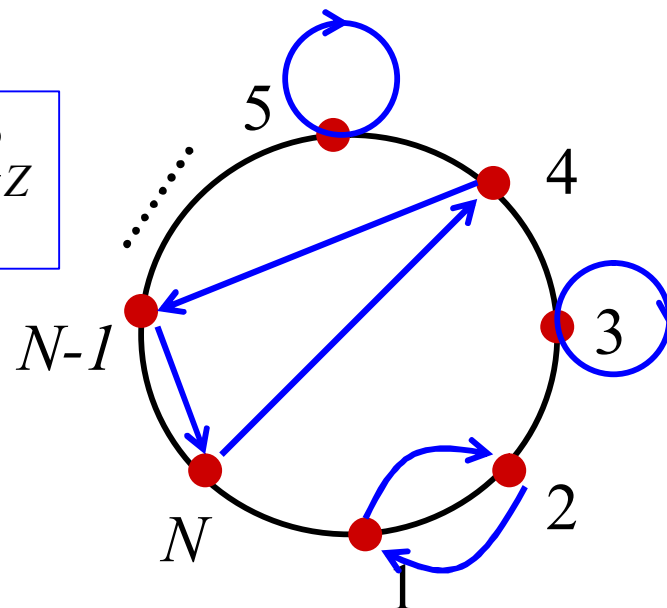
$$M_{ji} = m\delta_{ji} - K_{ji} \quad (K_{ii} = 0)$$



$$\det M = \sum_{Z \in C} R_Z$$

$$R_Z = (-1)^{(\# \text{ closed loop})} m^{(\# \text{ monomer})} \prod_{j,k} K_{kj}$$

$$R_{\text{Fig}} = (-1)^2 m^2 K_{12}K_{21}K_{4N-1}K_{N-1,N}K_{N,4} \dots$$



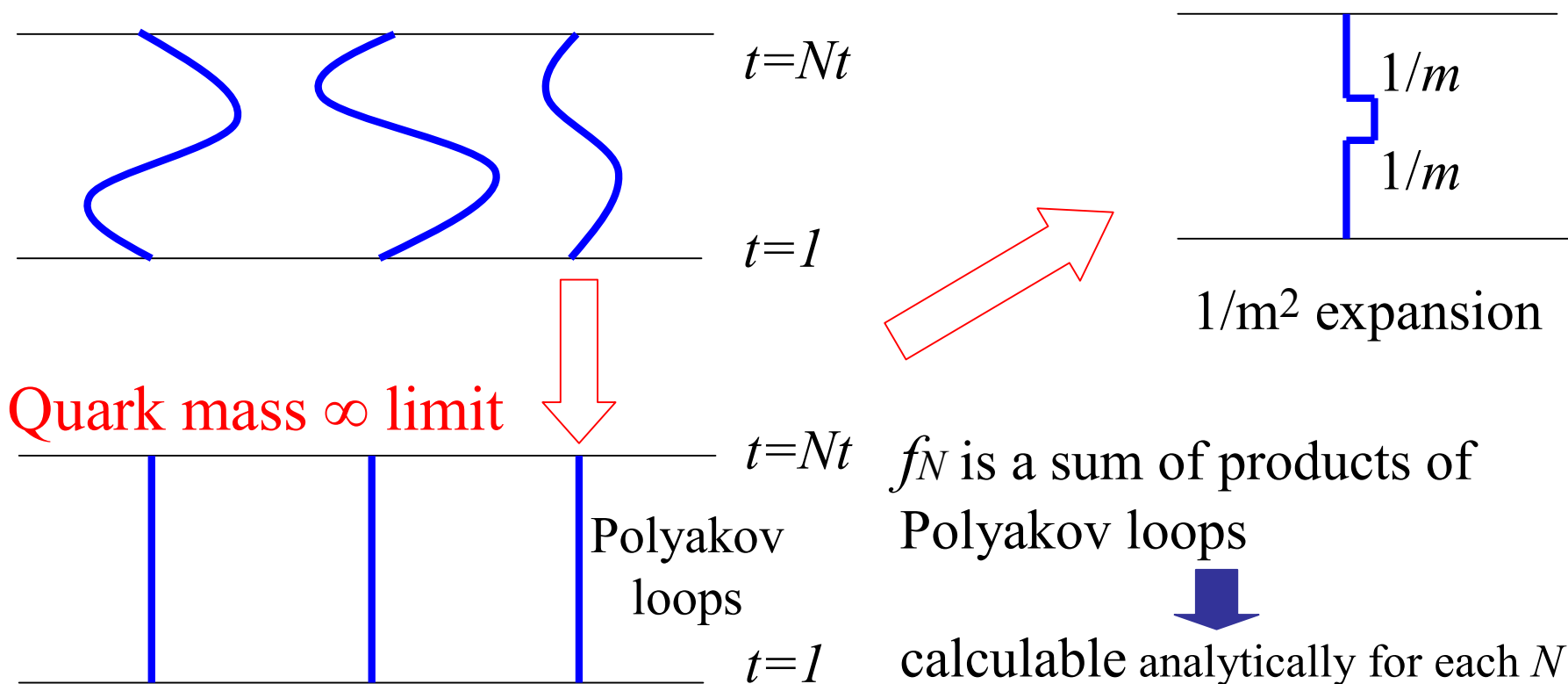


# Heavy quark limit (Engels et al., Nucl.Phys.B558(1999)307)

- Canonical Partition function for fixed quark number  $N$

$$Z_C(N) = \int DU f_N e^{-S_g}$$

- $f_N$  is a product of  $N$  quark propagators with all possible combination

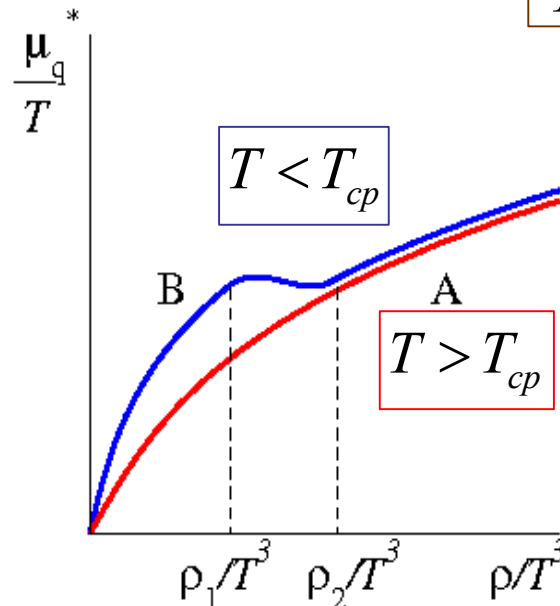
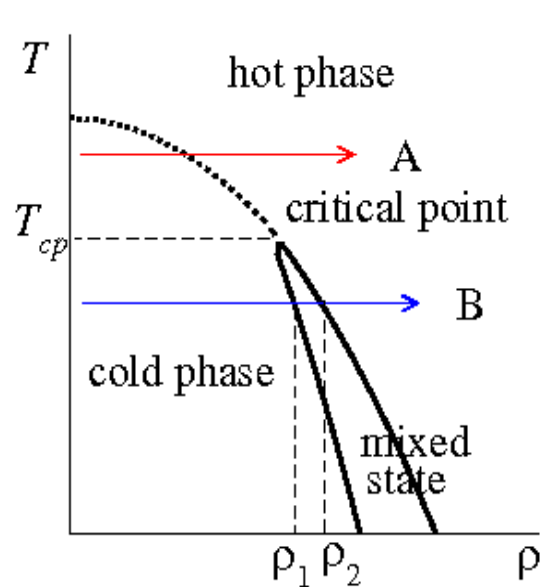


# First order phase transition line

In the thermodynamic limit,  $\frac{\partial V_{\text{eff}}(N)}{\partial N} = 0$ ,



$$\frac{\mu^*}{T} \equiv -\frac{\partial \ln Z_C(T, N)}{\partial N}$$



$$\frac{\mu^*}{T} \rightarrow \frac{\mu}{T} \quad (N_s^3 \rightarrow \infty)$$

Mixed state



First order transition

- Inverse Laplace transformation using Glasgow method  
 Kratochvila, de Forcrand, PoS (LAT2005) 167 (2005)  
 Nf=4 staggered fermions,  $6^3 \times 4$  lattice, (Nf=4: First order for all  $\rho$ .)
- Simulations with canonical ensemble  
 Kentucky group (arXiv:0810.2349, Anyi Li's poster in QM09)
- With a saddle point approximation (S.E., Phys.Rev.D78, 074507 (2008) )

← this talk

# Numerical calculation of the canonical partition function on a lattice

Phys. Rev. D 78, 074507 (2008) [arXiv:0804.3227]

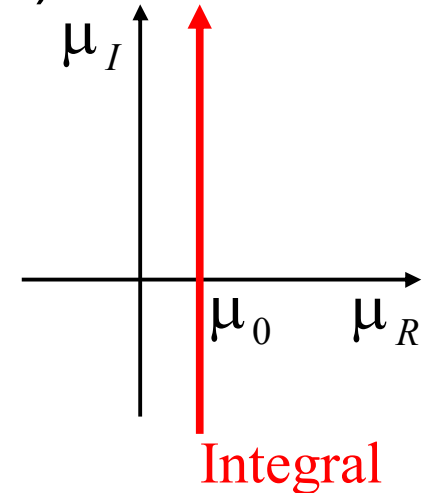
- Effective potential for total quark number
- Simulations:
  - Bielefeld-Swansea Collab., PRD71,054508(2005).
  - 2-flavor p4-improved staggered quarks with  $m_\pi \approx 770 \text{ MeV}$
  - $16^3 \times 4$  lattice
  - In  $\det M$ : Taylor expansion up to  $O(\mu^6)$

# Canonical partition function

- Fugacity expansion (Laplace transformation)

$$Z_{GC}(T, \mu) = \sum_N \underline{Z_C}(T, N) \exp(N\mu/T) \quad \rho = N/V$$

canonical partition function



- Inverse Laplace transformation

$$Z_C(T, N) = \frac{3}{2\pi} \int_{-\pi/3}^{\pi/3} d(\mu_I/T) e^{-N(\mu_0/T + i\mu_I/T)} Z_{GC}(T, \mu_0 + i\mu_I)$$

$$\frac{Z_{GC}(\mu)}{Z_{GC}(0)} = \frac{1}{Z_{GC}(0)} \int DU (\det M(\mu))^{N_f} e^{-S_g} = \left\langle \left( \frac{\det M(\mu)}{\det M(0)} \right)^{N_f} \right\rangle_{\mu=0}$$

Arbitrary  $\mu_0$

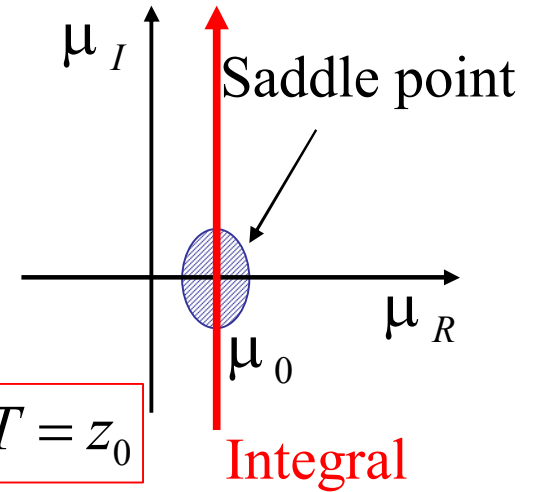
Integral path, e.g.  
1, imaginary  $\mu$  axis  
2, Saddle point

– Note: periodicity  $Z_{GC}(T, \mu + 2\pi iT/3) = Z_{GC}(T, \mu)$

–  $\det M(\mu)$  : Quark determinant

# Saddle point approximation

- Inverse Laplace transformation with Saddle point approximation (valid for large  $V$ )
  - Taylor expansion at the saddle point.



$$\text{Saddle point: } Z_0 \left[ \frac{N_f}{V} \frac{\partial (\ln \det M)}{\partial (\mu/T)} - \rho \right]_{\frac{\mu}{T} = z_0} = 0$$

$$\mu_0/T = z_0$$

$$\rho = N/V \quad V \equiv N_s^3$$

- At low density: The saddle point and the quark determinant can be estimated from data of Taylor expansion around  $\mu=0$ .

$$N_f \ln \det M(\mu) = N_f \sum_{n=0}^{\infty} \left[ \frac{1}{n!} \left( \frac{\mu}{T} \right)^n \frac{d^n \ln \det M}{d(\mu/T)^n} \right] \equiv V N_f N_t \sum_{n=0}^{\infty} \left[ D_n \left( \frac{\mu}{T} \right)^n \right]$$

- The calculation by the Taylor expansion is much easier than the exact calculation.  $\longrightarrow$  Large lattices: applicable.

# Saddle point approximation

- Canonical partition function in a **saddle point approximation**

$$\frac{Z_C(T, \rho)}{Z_{GC}(T, 0)} = \frac{3}{\sqrt{2\pi}} \left\langle \exp \left[ N_f \ln \left( \frac{\det M(z_0)}{\det M(0)} \right) - V\rho z_0 \right] e^{-i\alpha/2} \sqrt{\frac{1}{V|R''(z_0)|}} \right\rangle_{(T, \mu=0)}$$

$$\equiv \frac{3}{\sqrt{2\pi}} \langle \exp(F + i\theta) \rangle_{(T, \mu=0)}$$

Saddle point:  $z_0$        $R''\left(\frac{\mu}{T}\right) = \frac{N_f}{V} \frac{\partial^2 (\ln \det M)}{\partial (\mu/T)^2} \equiv |R''| e^{i\alpha}$

- Chemical potential

$$\frac{\mu^*(\rho)}{T} \equiv \frac{-1}{V} \frac{\partial \ln Z_C(T, \rho)}{\partial \rho} \approx \frac{\langle \underline{z_0} \underline{\exp(F + i\theta)} \rangle_{(T, \mu=0)}}{\langle \underline{\exp(F + i\theta)} \rangle_{(T, \mu=0)}}$$

saddle point                      reweighting factor

⇒ Similar to the reweighting method  
(sign problem & overlap problem)

# Technical problem 1: Sign problem

- Complex phase of  $\det M$  (phase) =  $N_f \text{Im}[\ln \det M(\mu)]$ 
  - Taylor expansion (Bielefeld-Swansea, PRD66, 014507 (2002))

$$\theta = \text{Im} \left[ V \left( N_f N_t \sum_{n=1}^{\infty} D_n z_0 - \rho z_0 \right) \right] - \frac{\alpha}{2} \quad \rightarrow \quad \theta: \text{NOT in the range } [-\pi, \pi]$$

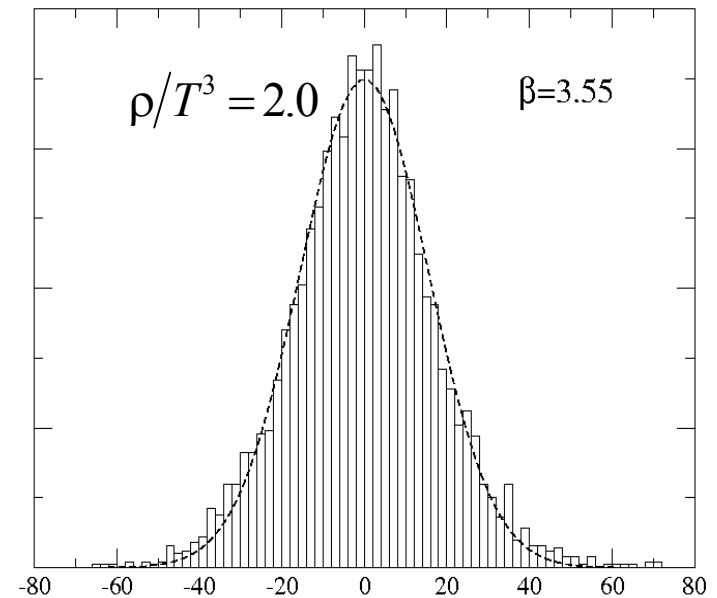
- $|\theta| > \pi/2$ : Sign problem happens.

$\rightarrow e^{i\theta}$  changes its sign.

- Gaussian distribution

- Taylor expansion up to  $O(\mu^5)$
- Dashed line: fit by a Gaussian function

Well approximated



$$W(\theta) \approx \sqrt{\frac{a}{\pi}} e^{-a\theta^2}$$

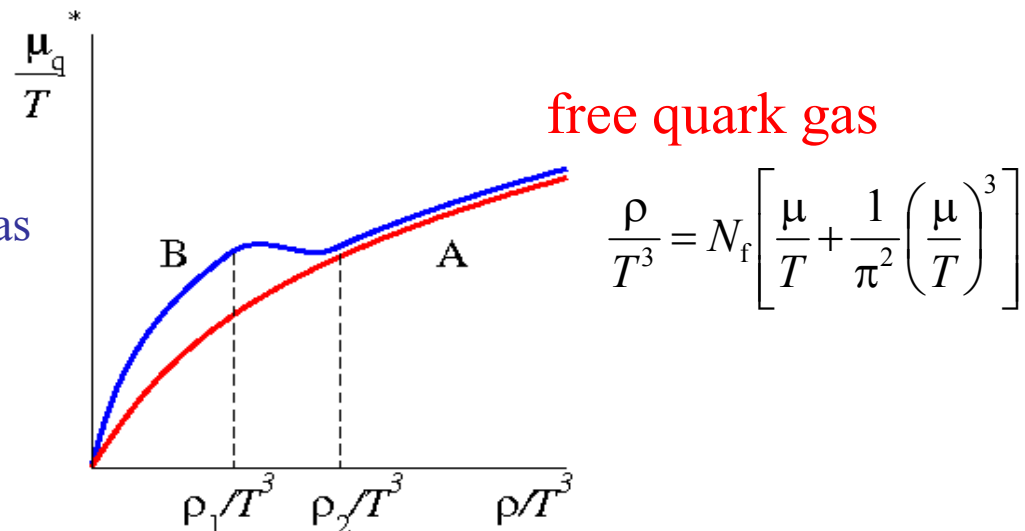
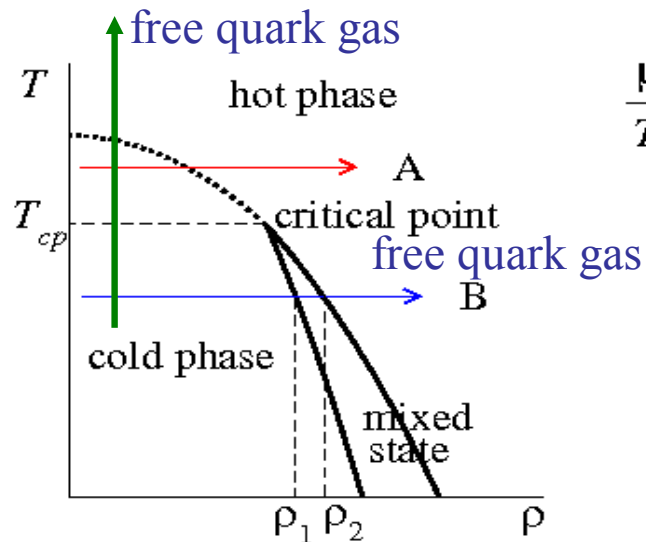
$$\rightarrow \langle e^{i\theta} e^F \rangle \approx \left\langle e^{-\langle \theta^2 \rangle_F / 2} e^F \right\rangle$$

histogram of  $\theta$   
 real and positive  
 No sign problem

# Technical problem 2: Overlap problem

Role of the weight factor  $\exp(F+i\theta) \sim \exp(F-\langle\theta^2\rangle/2)$

- When the density increases, the position of the importance sampling changes.
- We combine all data generated at many  $T$  by multi- $\beta$  reweighting (Ferrenberg-Swendsen, Phys.Rev.Lett.63,1195(1989))
  - Important configurations are selected automatically.
- Configurations at each  $T$  ( $\mu=0$ )
  - $T < T_c$ : Phase fluctuations: large, weight: small  $\rightarrow$  suppressed at large  $\rho$ .
  - $T > T_c$ : Phase fluctuations: small, weight: large  $\rightarrow$  enhanced at large  $\rho$ .
- $\mu^*/T$  approaches the free quark gas value in the high density limit for all  $T$ .

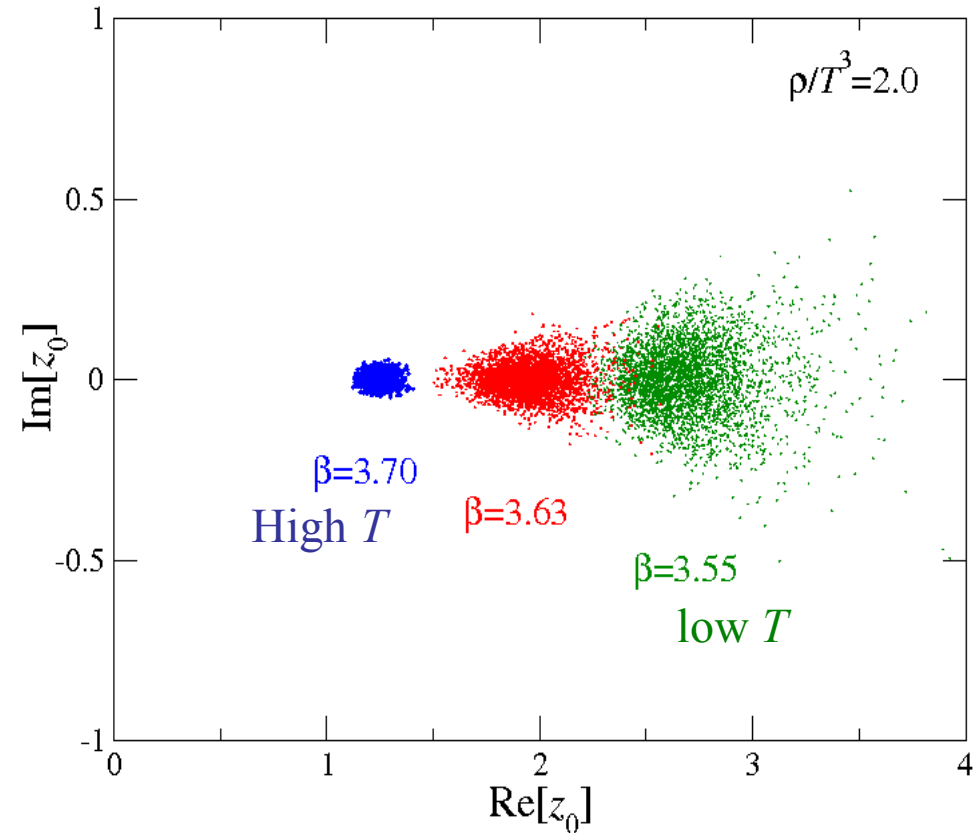


$$\frac{\rho}{T^3} = N_f \left[ \frac{\mu}{T} + \frac{1}{\pi^2} \left( \frac{\mu}{T} \right)^3 \right]$$

# Saddle point in complex $\mu/T$ plane

- Find a saddle point  $z_0$  numerically for each conf.

$$\left[ \frac{N_f}{V} \frac{\partial(\ln \det M)}{\partial(\mu/T)} - \rho \right]_{\mu/T=z_0} = 0$$



# Chemical potential vs density

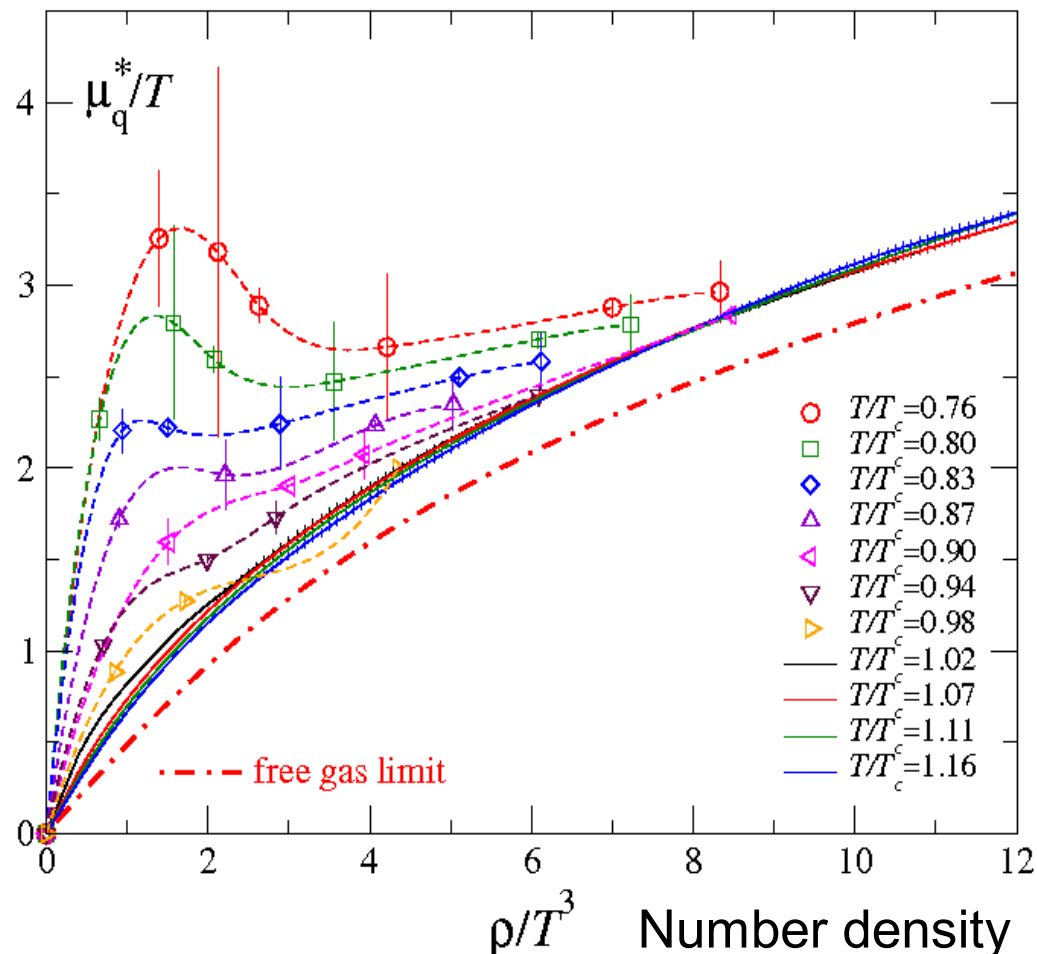
- Approximations:
  - Taylor expansion: In det  $M$
  - Gaussian distribution:  $\theta$
  - Saddle point approximation



- Two states at the same  $\mu_q/T$ 
  - First order transition at  $T/T_c < 0.83$ ,  $\mu_q/T > 2.3$
- $\mu^*/T$  approaches the free quark gas value in the high density limit for all  $T$ .

- Solid line: multi-b reweighting
- Dashed line: spline interpolation
- Dot-dashed line: the free gas limit

$N_f=2$  p4-staggered,  $m_\pi \approx 770\text{MeV}$ ,  $16^3 \times 4$  lattice



• Studies near physical quark mass: important.

# まとめ

- 有限温度・密度格子QCDの最近の成果についてまとめた。
- ボルツマンの重みが複素数であることの問題を避けるために、確率分布関数のようなものを定義して、議論した。
- 符号問題を避けるために、複素位相の部分をキュムラント展開して、符号問題を展開の収束の問題に置き換えた。体積を大きくしても、その展開の収束性が悪くならないことが期待できる。
- クォーク数(バリオン数)を固定した計算法を議論した。そこで得られるバリオン数に関する確率分布関数は、重イオン衝突実験のイベントごとの解析で得られる確率分布関数と直接関係つくかもしれない。